



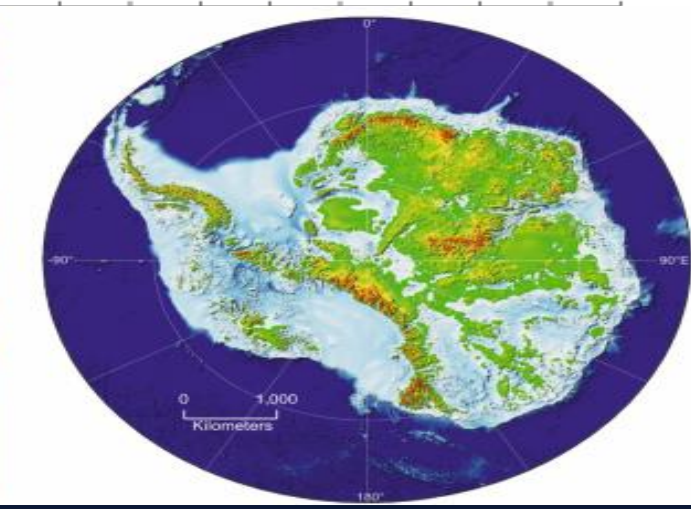
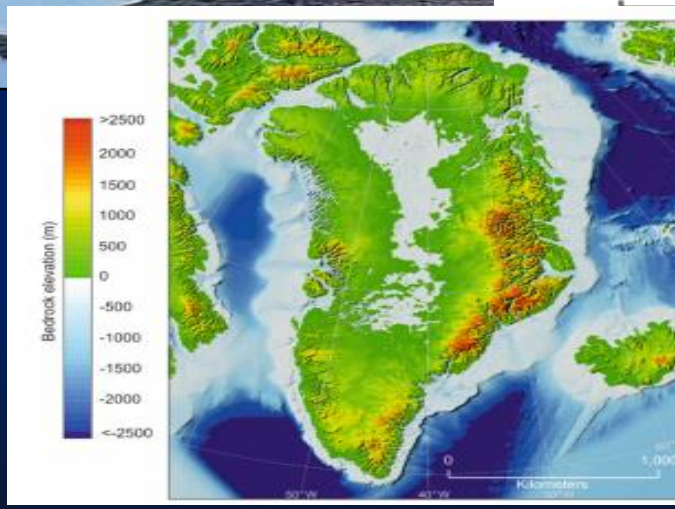
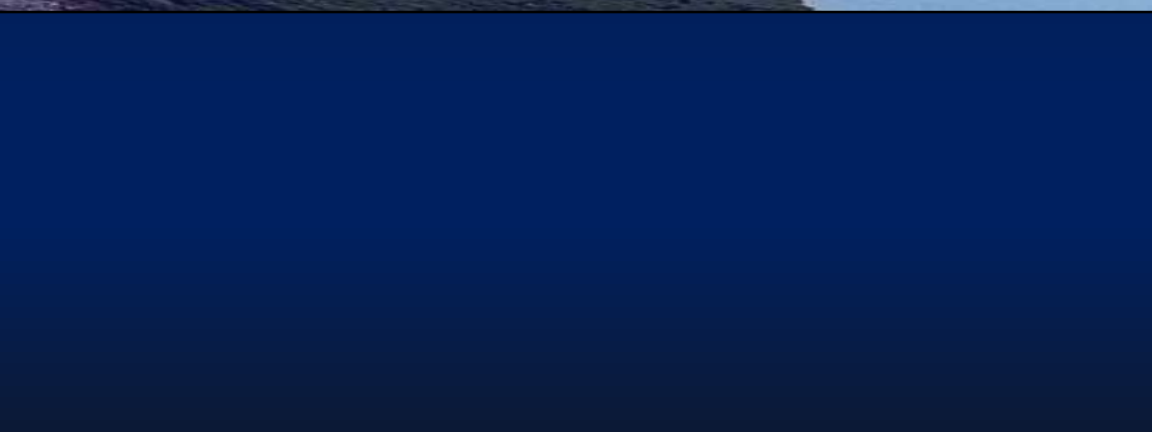
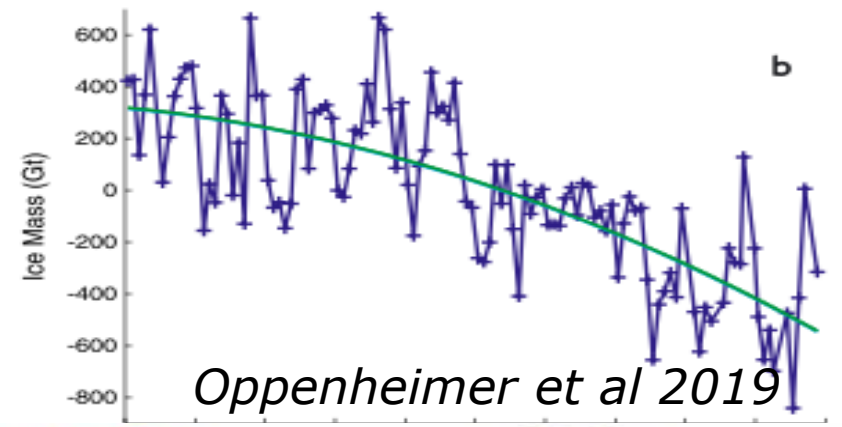
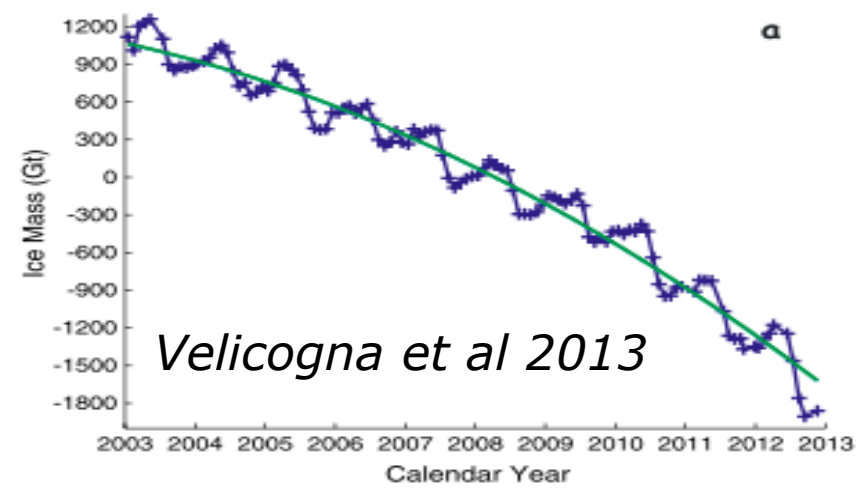
## 2da Conferencia Regional sobre el IPCC

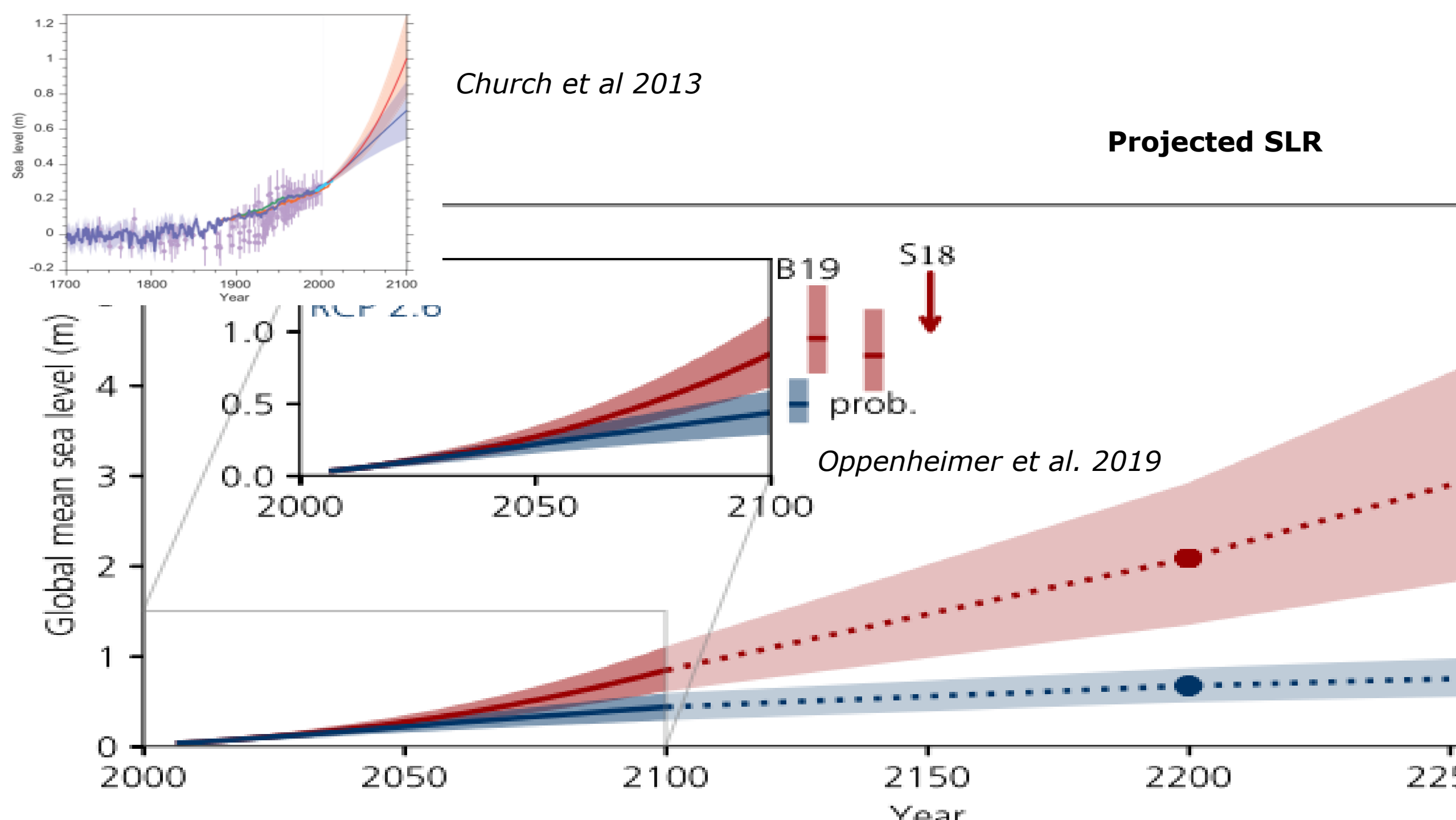
Cambio climático: conocimiento  
y soluciones hacia la COP26

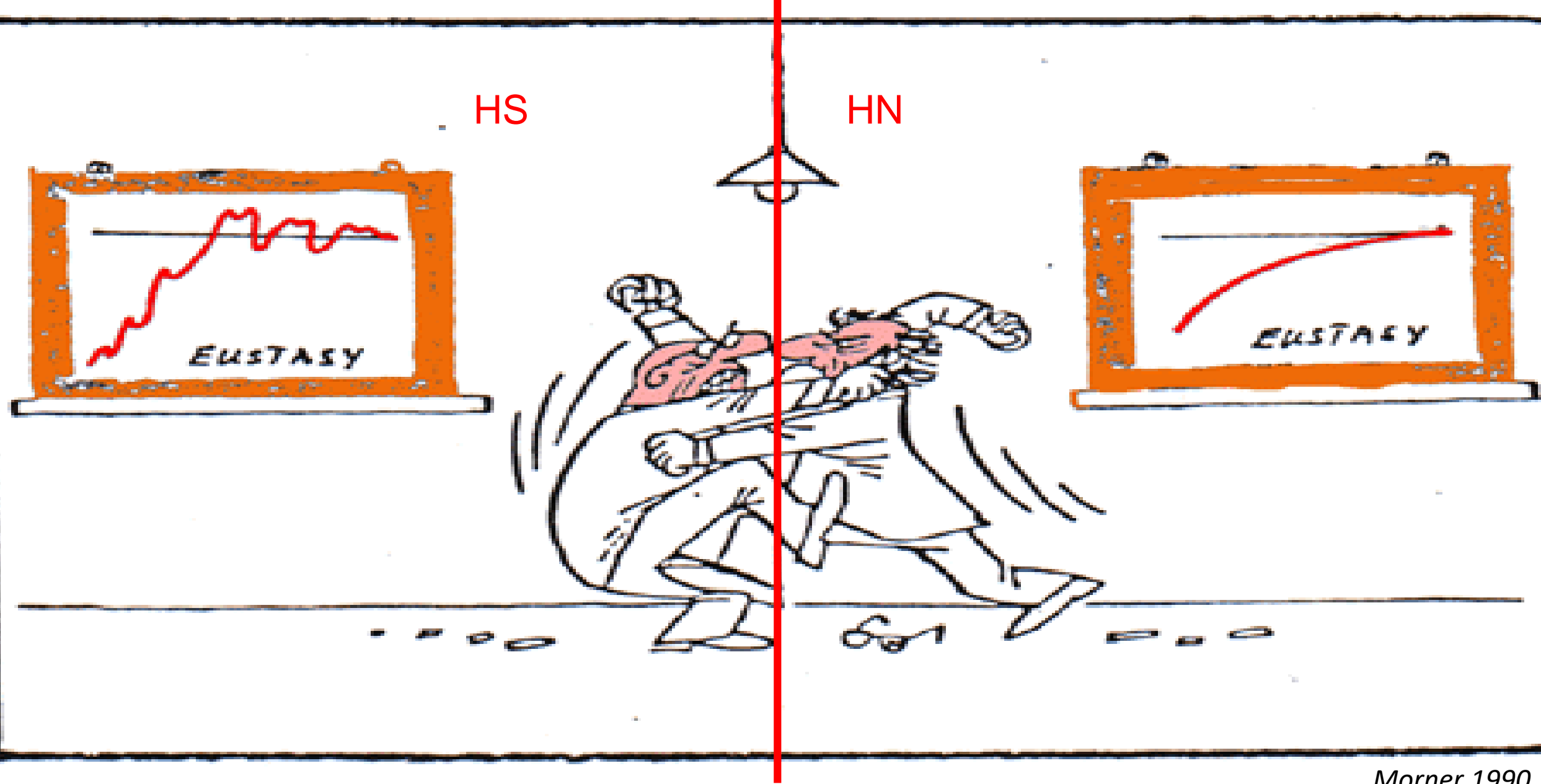
### Federico Ignacio Isla

La reversión del nivel del mar en Sudamérica

The sea level reversal in South America





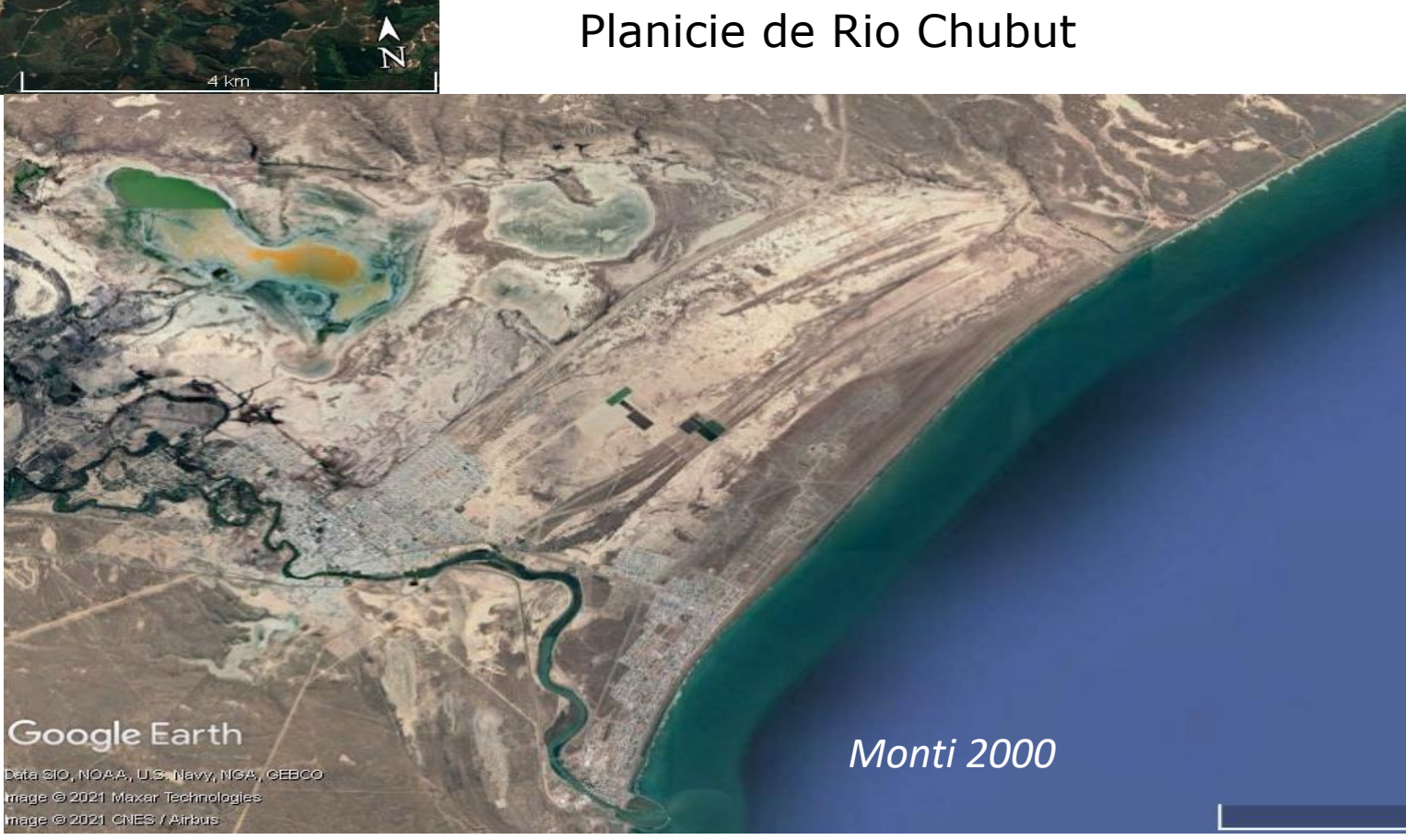
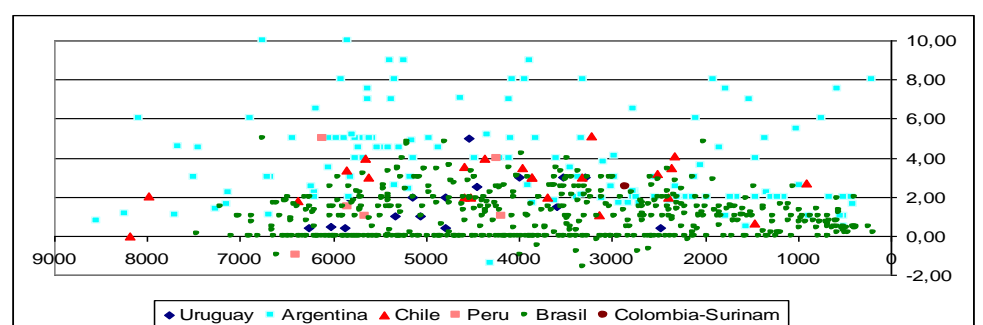


Morner 1990

Isla et al  
2012

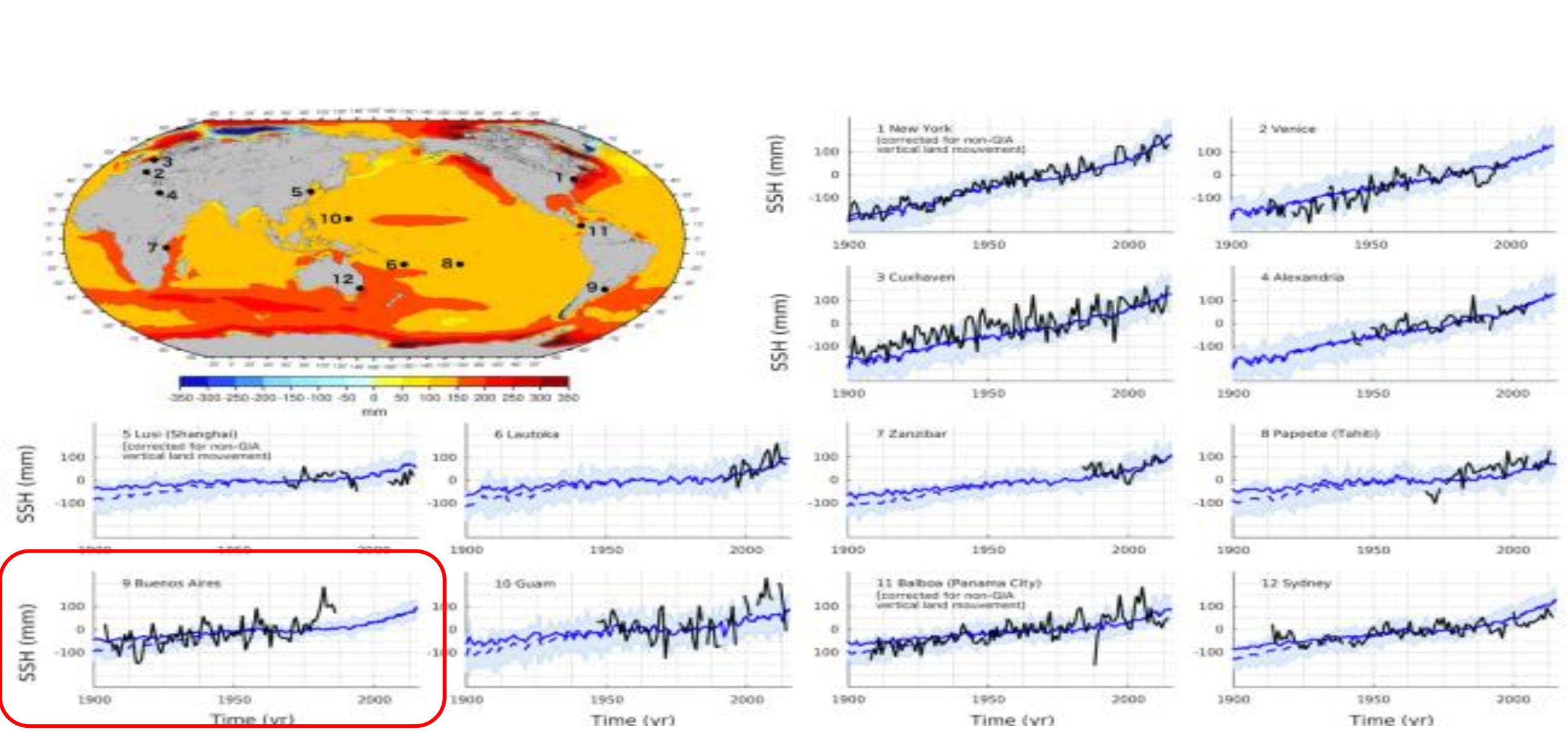


Planicie de Coronel

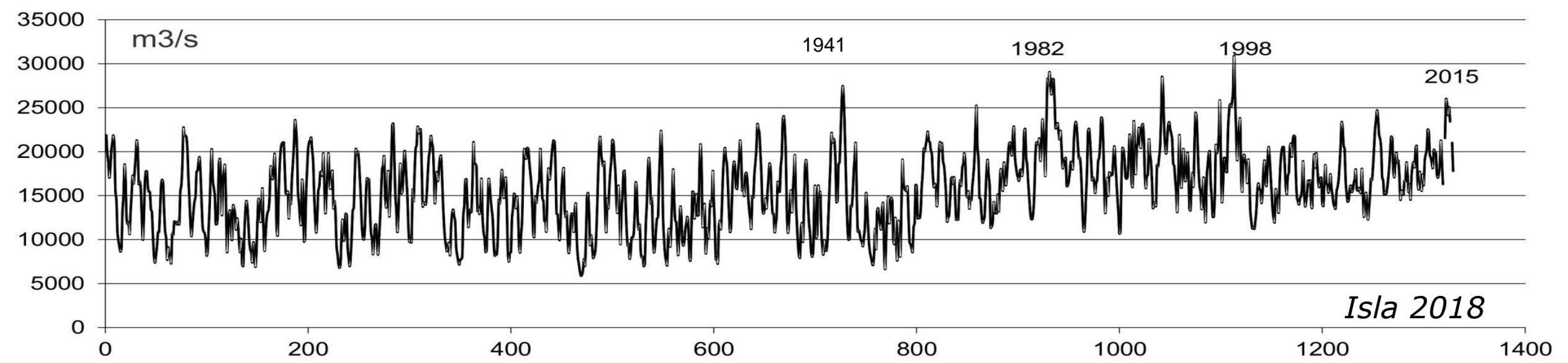
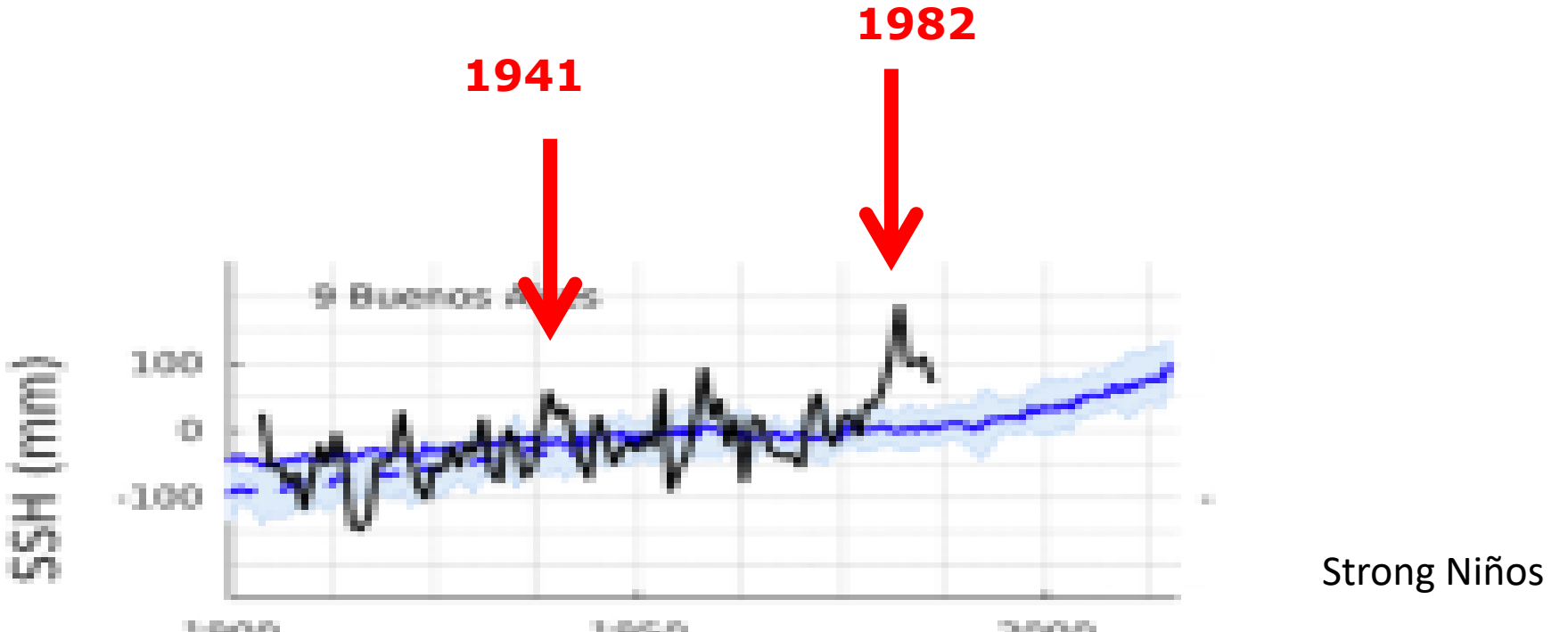


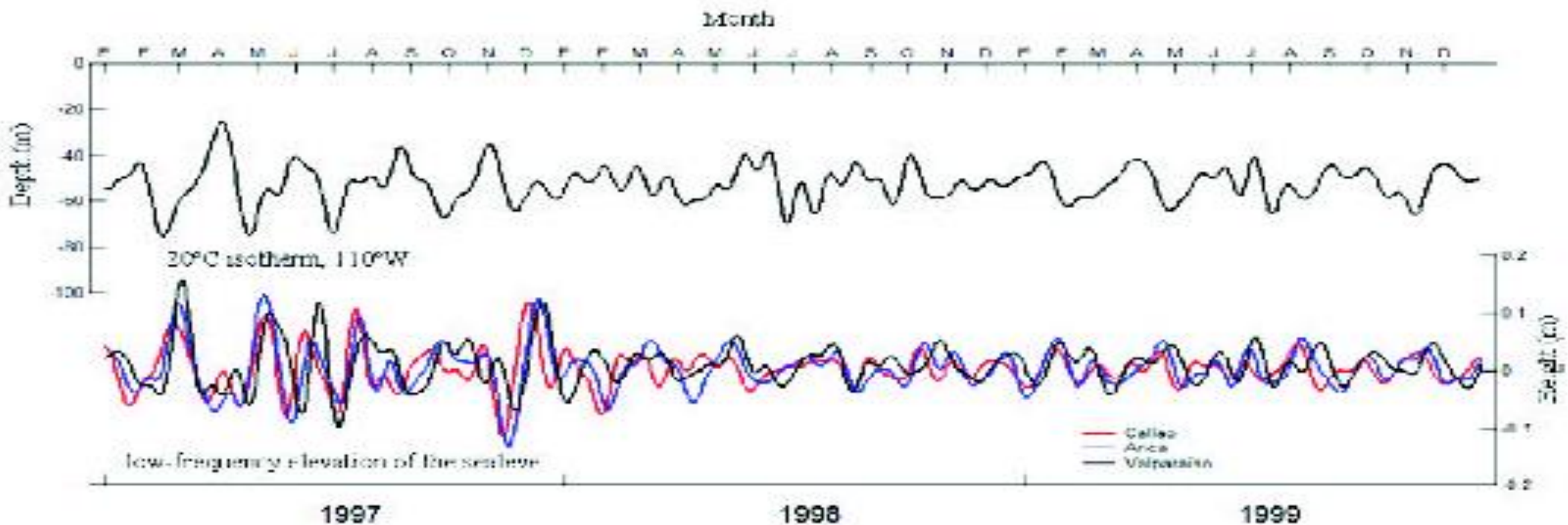
Planicie de Rio Chubut

Monti 2000

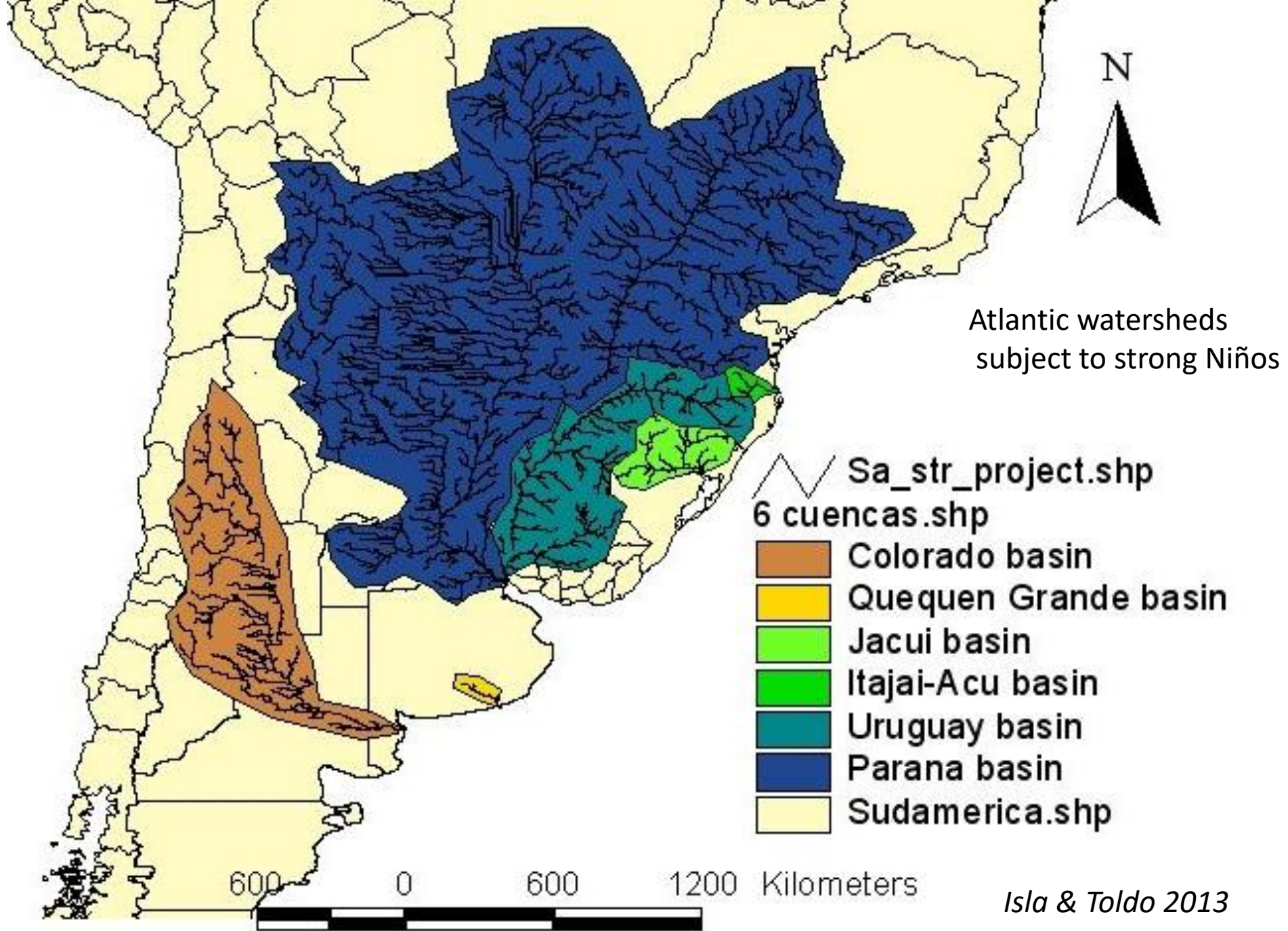


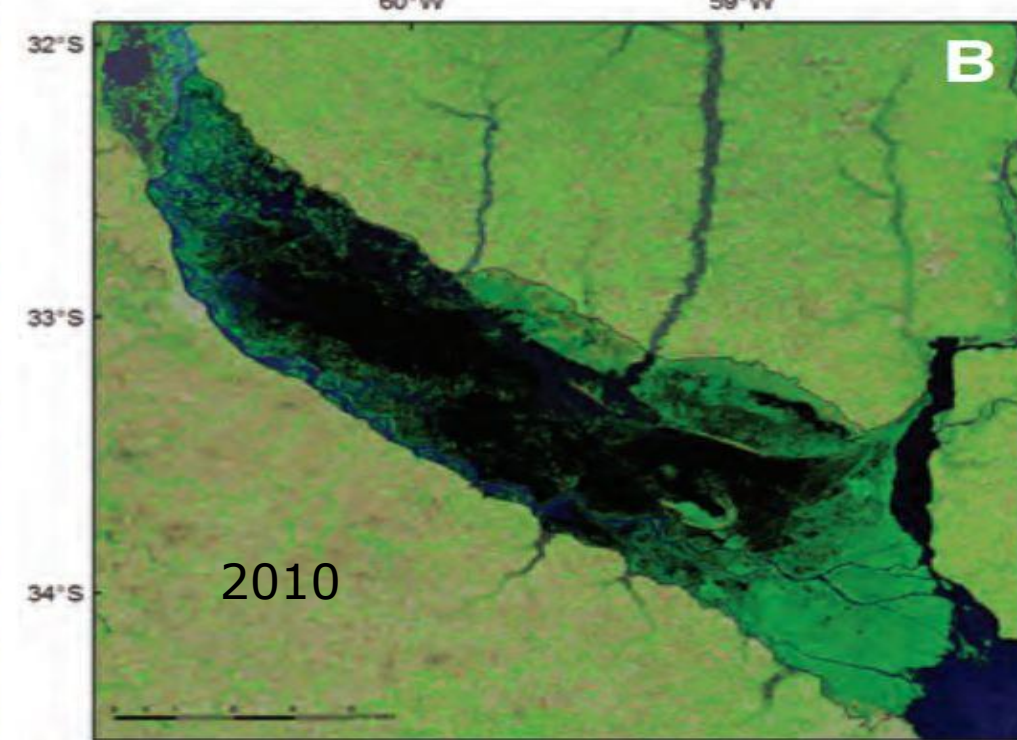
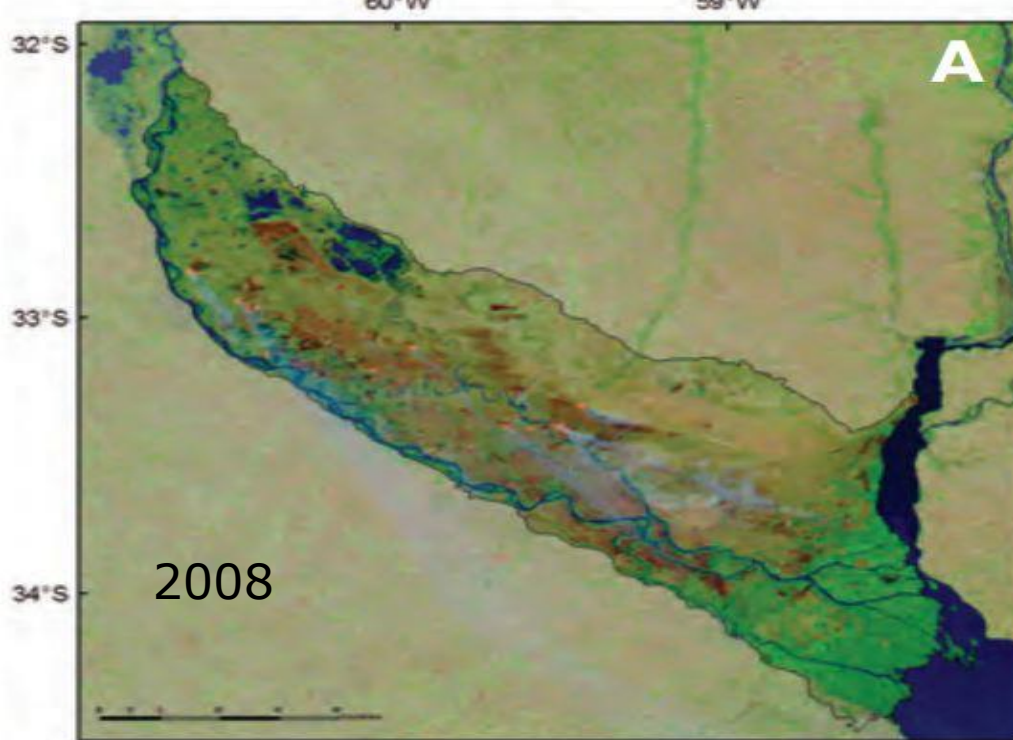
Oppenheimer et al 2019



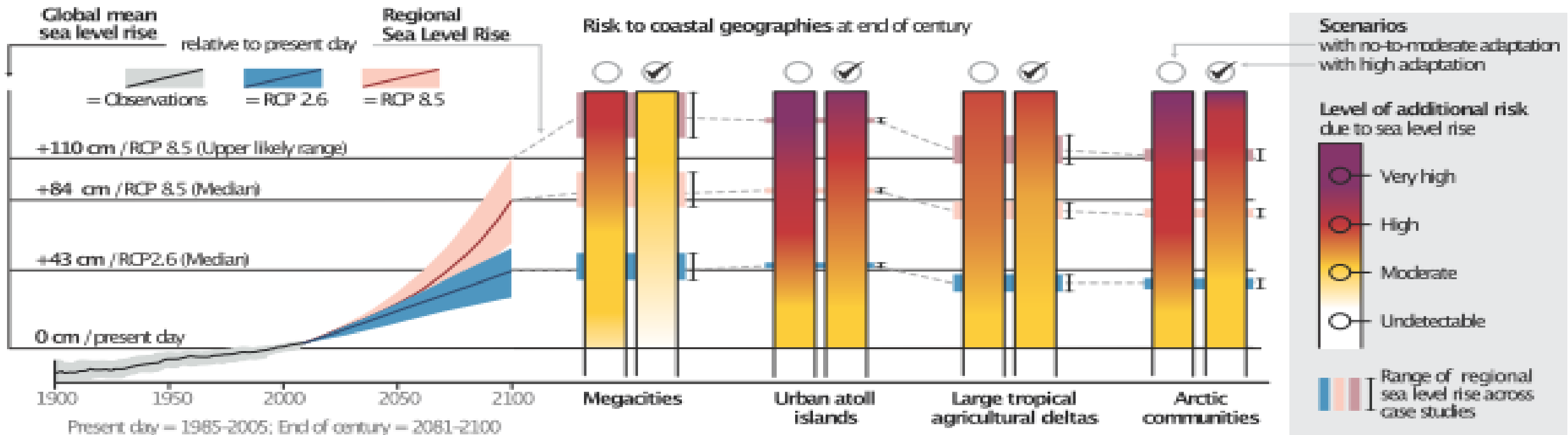


Bello et al. 2004





## Risks caused by future SLR



# Relación de O'Brien

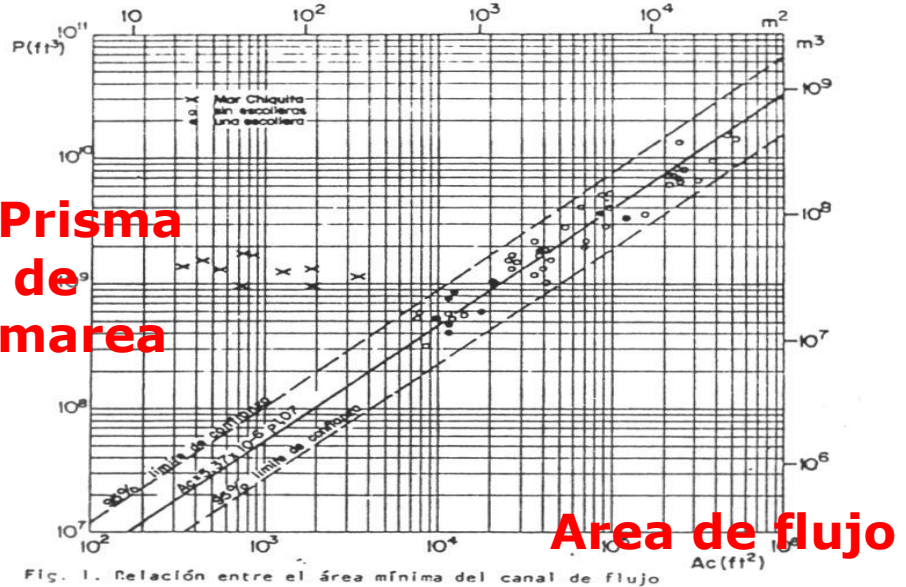


Fig. 1. Relación entre el área mínima del canal de flujo

Tirúa

Imagen Pre-terremoto



Fig. 9. Imágenes obtenidas desde Google Earth histórico, la fecha corresponde al 05-08-2004

Imagen Pre-terremoto



Fig. 3. Imágenes obtenidas desde Google Earth histórico, la fecha corresponde al 12-09-2009

Lebu

Imagen post - terremoto



Fig. 4. Imágenes obtenidas desde Google Earth histórico, la fecha corresponde al 03-11-2010

Saez,  
Araya,  
Jimenez  
2012

Tubul

Imagen Post-terremoto



Fig. 10. Imágenes obtenidas desde Google Earth histórico, la fecha corresponde al 18-03-2011



Fig. 19. Imágenes obtenidas desde Google Earth histórico, la fecha corresponde al 18-10-2009

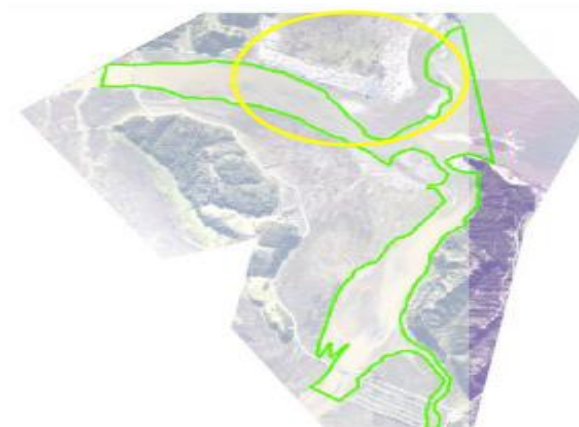
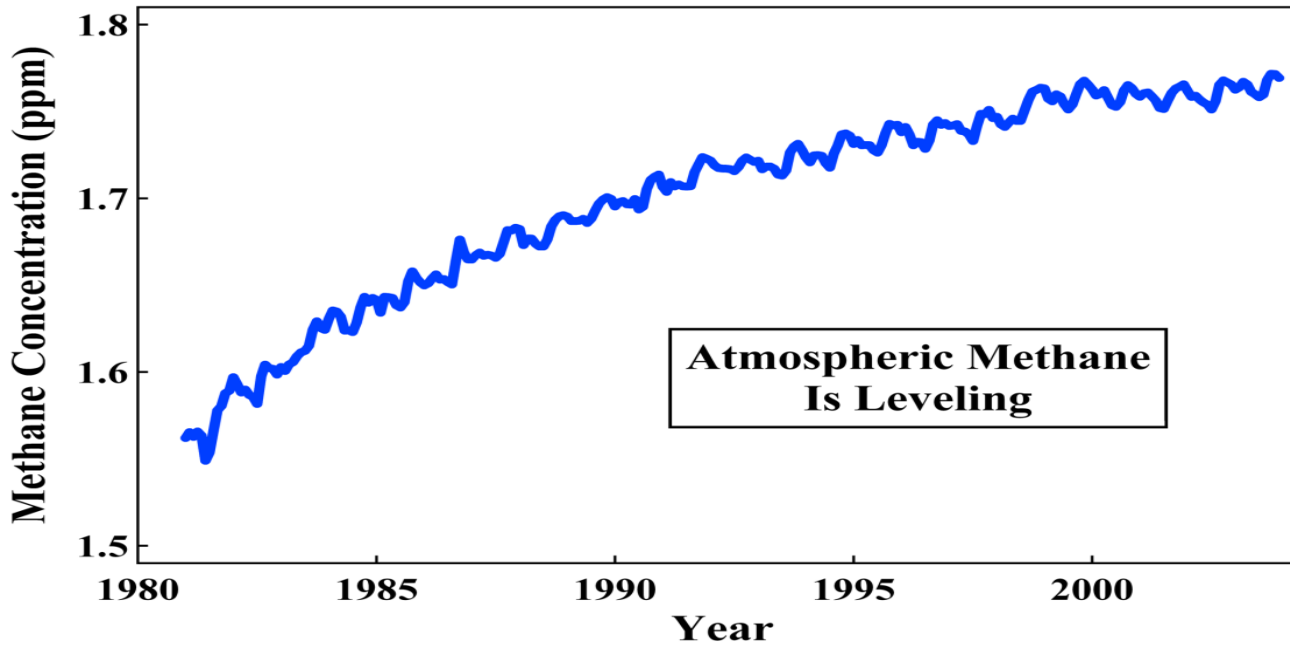
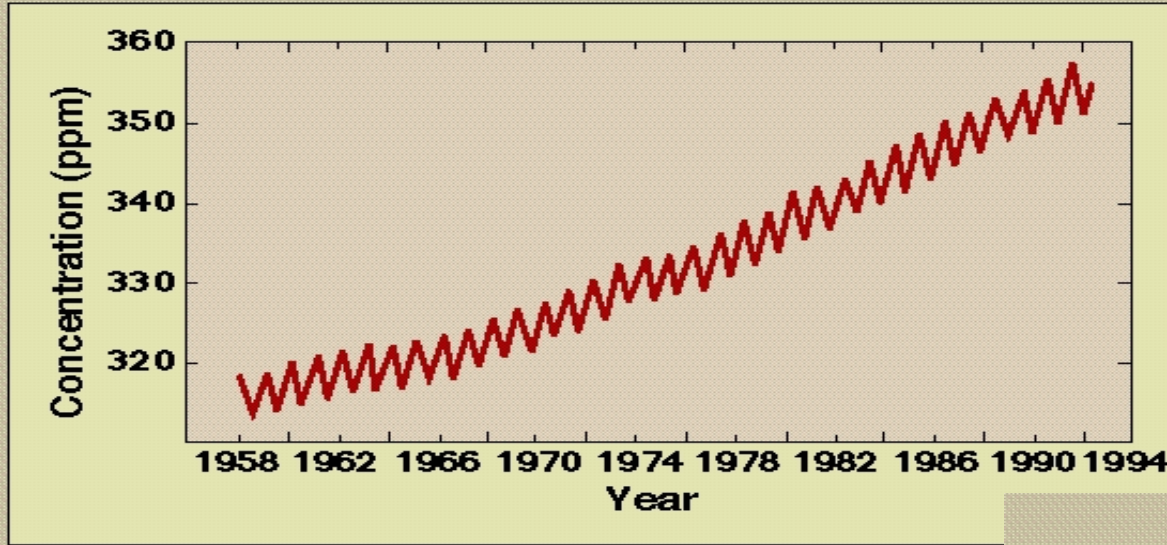


Fig. 20. Imágenes obtenidas desde Google Earth histórico, la fecha corresponde al 12-09-2010

## Atmospheric Carbon Dioxide Concentration



## Observed Changes in Global Temperature

